

Research Paper

Two-dimensional Simulation of Flow Pattern in Open Channels Using Time-Splitting Method

Maryam Teymouri Yeganeh¹, Mohammad Mehdi Heidari^{2*}, Rasool Ghobadian³¹ Ph.D Student, Water Engineering, Agriculture Faculty, Razi University, Kermanshah, Iran² Assistant Professor, Water Engineering, Agriculture Faculty, Razi University, Kermanshah, Iran³ Associate Professor, Water Engineering, Agriculture Faculty, Razi University, Kermanshah, Iran

10.22125/IWE.2023.375529.1691

Received:

December 5, 2022

Accepted:

April 17, 2023

Available online:

August 23, 2023**Keywords:****flow pattern, open channel, finite volume, numerical model, time-splitting method**

Abstract

One of the main characteristics of the shallow water model is that the vertical dimension of the flow is small compared to its horizontal dimension, on this basis the flow is considered almost horizontal, and also the pressure distribution in the depth can be hydrostatically commented. These assumptions simplify the equations and solve them numerically. In finite volume methods, any field with complex boundary conditions can be easily analyzed by using an irregular triangular grid. While in finite difference methods, it is very difficult to achieve high accuracy methods and has a high computational cost, and the application of finite difference schemes in fields with complex boundary conditions, which often happens in practice, it is very difficult and practically impossible. In this research, after developing the two-dimensional numerical model of the flow using the finite volume method in the Fortran programming language, taking into account the time halving scheme and using triangular grids, the flow pattern in open channels was investigated. Also, several zero-equation turbulence models including parabolic model, Parantel mixing length and Smagorinsky model were compared. The results of comparisons with laboratory data show the high accuracy of the numerical model in the simulations.

1. Introduction

Simulation of water flow in canals and rivers has been the subject of many researches in the field of hydraulics and river engineering (Azevedo et al., 2000). The use of two-dimensional numerical modeling can be considered as an option for predicting the performance of hydraulic designs of the structure. Namin et al., (2004) presented a numerical model for predicting free surface flows in estuarine and coastal basins using the finite volume method to solve the shallow water equations from both accurate and non-oscillating second and third order numerical schemes. They used an unstructured triangular network in their model. They also stated that the quality of the mesh has a major impact on the overall performance of the numerical model. This model has been used to simulate two-dimensional dam-break flows for which transient water level distributions are measured in a laboratory flume.

The purpose of this article is to prepare a numerical code in Fortran programming language using finite volume method with irregular triangular mesh to simulate two-dimensional flow in open channels. Multi-channel data was used to evaluate the numerical code.

* **Corresponding Author:** Mohammad Mehdi Heidari

Address: Water Engineering, Razi University, Kermanshah, Iran

Email: mm.heidari@razi.ac.ir

Tel: 09188573988

2. Materials and Methods

In this research, at first, using the finite volume method, two-dimensional numerical model of the flow was prepared. For this purpose, using the time splitting scheme in the Fortran programming environment, the different terms of the equations governing the separation flow were analyzed and solved. For this purpose, after separating and solving the governing equations of the flow in the programming environment, it is made into a subroutine and its validations are carried out in two-dimensional mode with the observational data related to the dam failure, the laboratory channel with breakwater, Rajaratnam and Nwachukwu (1983) and Xie laboratory channel (1994) with a sudden opening in the width was done.

3. Results

To solving the two-dimensional flow equations in this study, a time splitting scheme was used. Accordingly, the numerical solution of the governing equations consists of three steps. In the first step, the transfer equation (advection and diffusion) for p and q (velocity fluxes in the x and y directions) is solved. In the second stage, the friction of the channel bed is separated and its effects on the flow are added. Finally, the gravity term in momentum equation and the continuity equation are solved simultaneously. The results indicated the high accuracy of the numerical model in the simulations.

4. Discussion and Conclusion

The results of the simulations are presented for the numerical model of the current research in Xie laboratory channel (1994) for four sections downstream of the expansion site. Based on the mentioned figures, there is a good agreement between the measured and simulated data, and the flow in the main channel as well as the rotating area follows the trend of the measured data. In the experimental model of Rajaratnam and Nwachukwu (1983) of the flow around the breakwater, the flow field is well simulated and has a very high agreement with the measured data. Also, the statistical parameters in the failure model of Chaudhry (2008) showed the results of the simulations with the presented analytical solution with high accuracy.

5. Six important references

- 1) Namin, M., Lin, B., Falconer, R.A. 2004. Modelling estuarine and coastal flows using an unstructured triangular finite volume algorithm. *Advances in Water Resources*. 27 (12), PP. 1179–1197.
- 2) Chan, C.T., Anastasiou, K. 1999. Solution of incompressible flows with or without a free surface using the finite volume method on unstructured triangular meshes. *Int J Numer Methods Fluids* 1999; 29:35–57.
- 3) Groosi, F., Cusichua, A., Shademani, M., Shakibaeinia, A. 2022. Experimental and numerical investigations of dam break flow over dry and wet beds. *International Journal of Mechanical Sciences*. Volume 215. 106946.
- 4) Torabi, M., Hamed, A., Alamatian, E., Zahabi, H. 2019. The Effect of Geometry Parameters and Flow Characteristics on Erosion and Sedimentation in Channel's Junction using Finite Volume Method. *International Journal of Engineering and Management Research*, Volume- 9, Issue- 2, April 2019, Available at SSRN: <https://ssrn.com/abstract=3540873>
- 5) Vaghefi, M., Ghodsian, M., Neyshabouri, S. A. A. S. 2012. Experimental study on scour around a T-shaped spur dike in a channel bend. *Journal of Hydraulic Engineering*, 138(5), pp. 471–474.
- 6) Hou, J., Liang, Q., Zhang, H., Hinkelmann, R. 2015. An efficient unstructured MUSCL scheme for solving the 2D shallow water equations. *Environmental Modeling & Software*. Volume 66, pp.131-152.

Conflict of Interest

Authors declared no conflict of interest.

شبیه‌سازی دو بعدی الگوی جریان در مجاری روباز با استفاده از شمای تنصیف زمان

مریم تیموری یگانه^۱، محمد مهدی حیدری^{۲*}، رسول قبادیان^۳

تاریخ ارسال: ۱۴۰۱/۰۹/۱۴

تاریخ پذیرش: ۱۴۰۲/۰۱/۲۸

مقاله پژوهشی

چکیده

یکی از مشخصه‌های اصلی مدل آب‌های کم عمق ناچیز بودن بعد قائم جریان در مقایسه با بعد افقی آن بوده، بر این اساس جریان تقریباً افقی در نظر گرفته می‌شود، و همچنین توزیع فشار در عمق را می‌توان هیدرواستاتیک در نظر گرفت. این فرضیات موجب ساده سازی معادلات و حل عددی آن می‌گردد. در روش‌های احجام محدود با استفاده از شبکه‌ی نامنظم مثلثی به راحتی می‌توان هر میدانی با شرایط مرزی پیچیده را مورد تحلیل قرار داد. در حالی که در روش‌های تفاضل محدود دست‌یابی به روش‌های با دقت بالا بسیار سخت بوده و هزینه محاسباتی بالایی دارد و اعمال شمای تفاضل محدود در میدان‌های با شرایط مرزی پیچیده، که در عمل زیاد اتفاق می‌افتد، بسیار سخت و عملاً غیر ممکن می‌باشد. در این تحقیق پس از توسعه مدل عددی دو بعدی جریان به روش حجم محدود در زبان برنامه نویسی فرترن با در نظر گرفتن شمای تنصیف زمان و با استفاده از شبکه بندی مثلثی به بررسی الگوی جریان در کانال‌های روباز پرداخته شد. همچنین به مقایسه چند مدل آشفتگی صفر معادله‌ای شامل مدل پارابولیک، طول اختلاط پرانتل و مدل اسمانگورینسکی پرداخته شد. مقایسات نشان داد که مدل‌های آشفتگی صفر معادله‌ای دارای دقت تقریباً برابری هستند و نتایج مقایسات با داده‌های آزمایشگاهی بیانگر دقت بالای مدل عددی در شبیه سازی‌های صورت گرفته می‌باشد.

واژه‌های کلیدی: الگوی جریان، کانال روباز، حجم محدود، مدل عددی، تنصیف زمان

^۱ دانشجوی دکتری سازه‌های آبی، دانشکده کشاورزی، گروه مهندسی آب، دانشگاه رازی، کرمانشاه، ایران. m.yegameh1390@gmail.com

^۲ استادیار گروه مهندسی آب، دانشکده کشاورزی، دانشگاه رازی، کرمانشاه، ایران. ۰۸۳۳۸۳۲۳۷۲۷، mm.heidari@razi.ac.ir (نویسنده)

مسئول

^۳ دانشیار گروه مهندسی آب، دانشکده کشاورزی، دانشگاه رازی، کرمانشاه، ایران. rsghobadian@gmail.com



مقدمه

شبیه سازی الگوی جریان در کانال‌ها و رودخانه‌ها موضوع بسیاری از تحقیقات در زمینه هیدرولیک و مهندسی رودخانه بوده است. بسیاری از تحقیقات تجربی و عددی برای بررسی الگوی جریان و آبستتگی انجام شده است (واقفی و همکاران، ۲۰۱۲)؛ اودین و همکاران، (۲۰۱۱)؛ یئو و همکاران، (۲۰۰۵). چین و استفلر (۱۹۹۳) یک مدل عددی دوبعدی متوسط گیری شده در عمق را برای شبیه‌سازی توزیع سرعت در کانال‌های باز توسعه دادند. استفاده از مدل سازی عددی دو بعدی می‌تواند به عنوان گزینه‌ای برای پیش بینی عملکرد طرح‌های سازه‌های هیدرولیکی در نظر گرفته شود. ببرد و همکاران، (۲۰۲۱) از مدل عددی متوسط گیری شده در عمق "SRH-2D" برای شبیه‌سازی جریان اطراف سرریز استفاده کردند. مطالعات مدل فیزیکی، در حالی که اندازه‌گیری‌ها و نتایج ارزشمندی را ارائه می‌دهند، اما زمان‌بر هستند، همچنین در صورت نیاز به تغییرات عمده در پیکربندی می‌توانند پرهزینه باشند و گاهی اوقات امکان ارزیابی سریع طرح‌ها را فراهم نمی‌کنند. بدین منظور مدل‌سازی عددی یک جایگزینی مناسب را ارائه می‌دهد (پاپانیولاس و همکاران، ۲۰۱۱). از این رو، بسیاری از مدل‌های جریان سطح آزاد با استفاده از طرح‌های صریح و طرح‌های ضمنی توسعه یافته است (ناژیک، ۱۹۹۵؛ فنا، ۱۹۹۰؛ زانگ، ۲۰۰۳). چندین تکنیک برای استفاده از روش حجم محدود، در حل معادلات دو بعدی آب‌های کم عمق برای مدل‌سازی جریان‌های سطح آزاد منتشر شده است (ژائو و همکاران، ۱۹۹۶)، آناسازیو (۱۹۹۷) و چن (۱۹۹۹) یک طرح حجم محدود بر اساس فرمول مرتبه دوم نوع گودونوف برای حل جریان‌های تراکم ناپذیر، هم با و هم بدون سطح آزاد و با استفاده از یک شبکه مثلثی بدون ساختار ایجاد کردند. ترابی و همکاران (۲۰۱۹) با استفاده از روش حجم محدود، الگوی جریان و رسوب را در کانال شبیه‌سازی کردند. آن‌ها همچنین از یک مدل تجربی برای ارزیابی نتایج استفاده

کردند. با توجه به مدل عددی، تاثیر پارامترهای هندسی مانند نسبت کانال ثانویه به کانال اصلی و زاویه تقاطع و همچنین شرایط هیدرولیکی مانند نسبت جریان ثانویه به کانال اصلی و عدد فرود جریان را بر روی توپوگرافی و الگوی بستر مورد بررسی قرار دادند. نتایج مدل عددی آن‌ها نشان داد که با رسیدن نسبت دبی به ۵۱ درصد، حداکثر ارتفاع بستر به ۳۲ درصد افزایش یافته و با کاهش نسبت عدد فرود کانال اصلی به کانال فرعی، حداکثر ارتفاع رسوب کاهش یافته است. همچنین افزایش زاویه تقاطع با کاهش تغییرات سرعت جریان در طول کانال همراه بوده است. الگوی سرعت و تغییرات توپوگرافی بستر نیز در هر زاویه مورد مطالعه ثابت بوده است. نمین و همکاران (۲۰۰۴) یک مدل عددی برای پیش‌بینی جریان‌های سطحی آزاد در دهانه رودخانه و حوضه‌های ساحلی با استفاده از روش حجم محدود برای حل معادلات آب‌های کم عمق با استفاده از دو طرح عددی دقیق و غیر نوسانی مرتبه دوم و سوم ارائه کردند. آنها از یک شبکه مثلثی بدون ساختار در مدل خود استفاده کردند. همچنین بیان کردند که کیفیت مش تأثیر عمده‌ای بر عملکرد کلی مدل عددی دارد. این مدل برای شبیه‌سازی جریان‌های دوبعدی شکست سد استفاده شده است. هو و همکاران (۲۰۱۵) روش جدید MUSCL را با استفاده از شبکه بدون ساختار مثلثی ارائه کردند این طرح در مدل حجم محدود برای حل معادلات آب کم عمق در زمین‌های ناهموار پیشنهاد شده است. گروسی و همکاران (۲۰۲۲) بررسی‌های تجربی و عددی جریان شکست سد بر بستر خشک و مرطوب را با استفاده از دو روش عددی مختلف، (۱) حجم سیال (VOF) و (۲) ذرات متحرک نیمه ضمنی (MPS) انجام دادند. نتایج مقایسات آن‌ها توافق رضایت بخشی را بین هر دو مدل و آزمایش نشان داده است. هدف این مقاله تهیه کد عددی در زبان برنامه نویسی فرترن با استفاده از روش حجم محدود با مش مثلثی نامنظم، برای شبیه‌سازی جریان دو بعدی در کانال‌های باز و مقایسه مدل‌های

مدل سه‌موی متوسط عمقی، مدل طول اختلاط و مدل اسمگورینسکی استفاده شده است. ویسکوزیته گردابی سه‌موی متوسط عمقی به صورت زیر محاسبه می‌شود:

$$v_t = C_t U_* h \quad (۴)$$

که در آن U^* سرعت برش بستر، $C_t = [C_f(u^2 + v^2)]^{1/2}$ و $U_* = [C_f(u^2 + v^2)]^{1/2}$ و C_t یک ضریب تجربی بین 0.3 و 1.0 است (الدر، ۱۹۵۹ و فیشر، ۱۹۷۹) در این تحقیق از مقدار پیش فرض $C_t = 0.7$ استفاده شده است. همچنین، مدل ویسکوزیته گردابی طول اختلاط به صورت زیر ارائه شده است:

$$v_t = \bar{I}^2 \sqrt{2 \left(\frac{\partial u}{\partial x} \right)^2 + 2 \left(\frac{\partial v}{\partial y} \right)^2 + \left(\frac{\partial u}{\partial y} + \frac{\partial v}{\partial x} \right)^2 + \left(C_m \frac{u_*}{kh} \right)^2} \quad (۵)$$

که در آن، K ثابت ون کارمن و C_m یک ضریب تجربی و می‌توان آن را روی $2/34375$ (CCH2D Manual) تنظیم کرد.

در مدل اسمگورینسکی برای محاسبه آشفتگی داریم:

$$v_t = (C_s \Delta)^2 \sqrt{\left(\frac{\partial u}{\partial x} \right)^2 + \left(\frac{\partial v}{\partial y} \right)^2 + \left(\frac{\partial u}{\partial y} + \frac{\partial v}{\partial x} \right)^2} \quad (۶)$$

که در آن Δ فاصله شبکه و C_s یک ثابت است که باید در بازه 0.25 تا 1.0 انتخاب شود (برانت، ۲۰۰۶).

تولید شبکه

با توجه به هندسه پیچیده رودخانه‌ها و همچنین به منظور افزایش دقت محاسبات، در این تحقیق مفصل سازی محدوده حل با استفاده از شبکه بدون ساختار مثلثی انجام می‌شود. مزیت شبکه بدون ساختار علاوه بر انعطاف‌پذیری در هندسه‌های پیچیده، امکان قابلیت ریز و درشت کردن شبکه در مناطق مختلف میدان حل می‌باشد. در این تحقیق جهت تولید شبکه محاسباتی از برنامه EASYMESH استفاده شده است. به منظور شبکه بندی ابتدا فایل ورودی برای نرم افزار تهیه گردید. این فایل شامل دو بخش، مشخصات گره‌ها و مشخصات خطوط دور محدوده شبیه‌سازی می‌باشد. همچنین تعداد گره‌ها در ابتدای فایل و سپس شماره گره، مشخصات گره‌ها

آشفتگی صفر معادله‌ای می‌باشد. برای ارزیابی کد عددی از داده‌های چند کانال استفاده شد.

مواد و روش‌ها

معادلات دوبعدی متوسط گیری شده در عمق با فرض فشار هیدرواستاتیک و صرف‌نظر کردن از تاثیرات بادی و نیروی کوریولیس با انتگرال گیری از معادلات سه بعدی ناویر استوکس در عمق جریان به صورت روابط (۱)، (۲) و (۳) نوشته می‌شود (ابوت و باسکو، ۱۹۸۹).

$$\frac{\partial \eta}{\partial t} + \frac{\partial p}{\partial x} + \frac{\partial q}{\partial y} = 0 \quad (۱)$$

$$\frac{\partial p}{\partial t} + \frac{\partial (up)}{\partial x} + \frac{\partial (vp)}{\partial y} + gh \frac{\partial \eta}{\partial x} = \quad (۲)$$

$$\frac{\partial}{\partial x} \left(v_t \left(\frac{\partial p}{\partial x} \right) \right) + \frac{\partial}{\partial y} \left(v_t \left(\frac{\partial p}{\partial y} \right) \right) - \frac{gp \sqrt{p^2 + q^2}}{C^2 h^2}$$

$$\frac{\partial q}{\partial t} + \frac{\partial (uq)}{\partial x} + \frac{\partial (vq)}{\partial y} + gh \frac{\partial \eta}{\partial y} = \quad (۳)$$

$$\frac{\partial}{\partial x} \left(v_t \left(\frac{\partial q}{\partial x} \right) \right) + \frac{\partial}{\partial y} \left(v_t \left(\frac{\partial q}{\partial y} \right) \right) - \frac{gq \sqrt{p^2 + q^2}}{C^2 h^2}$$

رابطه (۱) معادله پیوستگی در پلان و روابط (۲) و (۳) معادلات اندازه حرکت در راستای x و y می‌باشد. در این معادلات u ، v معرف مولفه‌های سرعت به ترتیب در جهات x ، y و g شتاب ثقلی، v_t لزجت سینماتیکی، p شار سرعت در راستای x ، q شار سرعت در راستای y می‌باشد.

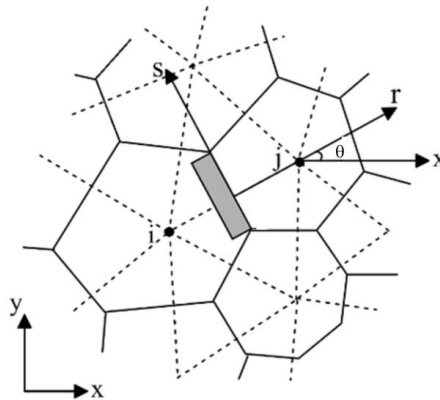
معادلات اندازه حرکت دارای چهار بخش مختلف است این بخش‌ها به ترتیب از چپ به راست عبارتند از: ترم جابجائی، ترم ثقلی، ترم پخشیدگی و ترم اصطکاک کف.

مدل آشفتگی

ویسکوزیته گردابی با یک مدل آشفتگی مانند مدل ویسکوزیته گردابی سه‌موی متوسط عمقی، مدل طول اختلاط، مدل اسمگورینسکی، مدل آشفتگی استاندارد $k-\epsilon$ (رودی ۱۹۹۳)، و مدل آشفتگی $k-\epsilon$ (RNG) محاسبه می‌شود (یاخوت و همکاران، ۱۹۹۲). در تحقیق حاضر، از

شکل (۱)، یک چند ضلعی است که توسط نقاط برخورد عمود منصف‌های مثلث‌های متصل به یک نقطه ایجاد شده است. در این حجم کنترل متغیرهای سرعت و تراز آب در مرکز هر سلول قرار دارد و مقدار شار خروجی و ورودی به حجم کنترل روی یال‌های مثلث محاسبه می‌شود

(x, y) ، طول تقریبی شبکه بندی در نزدیکی گره و شماره مرز گره که بیان‌کننده شرایط مرزی است، در این فایل وارد شد و بعد از اجرای برنامه در محیط Dos، سه فایل خروجی برای مشخصات گره‌ها (Node)، مشخصات مثلث‌ها (Element) و مشخصات اضلاع (Side) ایجاد گردید. بر این اساس حجم کنترل مورد استفاده مطابق



شکل (۱): حجم کنترل چند وجهی مورد استفاده در تحقیق و محورهای مختصات r و s

p^* استفاده می‌شود و مقدار شار سرعت در جهت X بدلیل پخشیدگی به مقدار p^{**} تبدیل می‌شود. مراحل سوم و چهارم نیز همانند مراحل اول و دوم به حل معادله جابه‌جایی و پخش برای شار سرعت q اختصاص دارد. خروجی این قسمت مطابق روابط (۷) تا (۱۰) مقادیر p^{**} و q^{**} برای هر گره محاسباتی است:

$$\frac{p^* - p^n}{\Delta t} = - \left(\frac{\partial (up)}{\partial x} + \frac{\partial (vp)}{\partial y} \right)^n \quad (7)$$

$$\frac{p^{**} - p^*}{\Delta t} = \frac{\partial}{\partial x} \left(v_t \frac{\partial p}{\partial x} \right)^* + \frac{\partial}{\partial y} \left(v_t \frac{\partial p}{\partial y} \right)^* \quad (8)$$

$$\frac{q^* - q^n}{\Delta t} = - \left(\frac{\partial (up)}{\partial x} + \frac{\partial (vp)}{\partial y} \right)^n \quad (9)$$

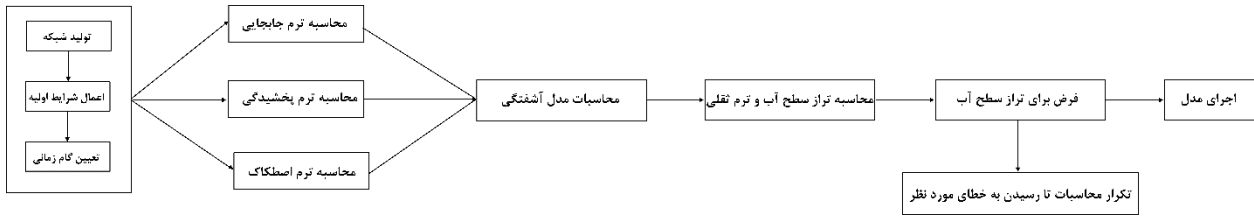
$$\frac{q^{**} - q^*}{\Delta t} = \frac{\partial}{\partial x} \left(v_t \frac{\partial p}{\partial x} \right)^* + \frac{\partial}{\partial y} \left(v_t \frac{\partial p}{\partial y} \right)^* \quad (10)$$

در شکل زیر فلوجارت توسعه مدل عددی ارائه شده است.

الگوریتم حل عددی

در مدل حاضر از طرح تنصیف زمان بر اساس روش حجم محدود (تیمام، ۱۹۹۱؛ محمدزاده قمی و منتظری نمین، ۱۳۸۴) برای حل معادلات جریان دو بعدی در یک شبکه بندی نامنظم استفاده شده است. این طرح معادله حاکم را در سه مرحله حل می‌کند. در مرحله اول، معادله انتقال (ترم جابجایی و پخشیدگی) برای محاسبه شار جرم (p و q) در معادلات اندازه حرکت حل می‌شود. در مرحله دوم عبارت اصطکاک بستر به صورت روش ضمنی منفصل می‌شود. در نهایت ترم ثقلی در معادلات اندازه حرکت و پیوستگی به طور همزمان حل می‌شوند.

قسمت اول محاسبات شامل چهار مرحله است. در مرحله اول شار سرعت p در امتداد X و y جابجا می‌شود تا مقدار p^* محاسبه شود. مرحله دوم شامل حل معادله پخشیدگی مربوط به شار p است، در این مرحله از مقدار



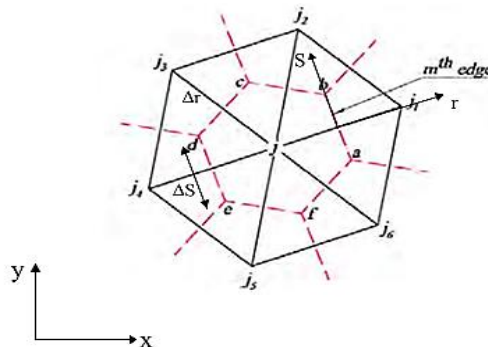
شکل (۲): فلوجارت توسعه مدل عددی

$$\frac{\partial C}{\partial t} + \frac{\partial E}{\partial x} + \frac{\partial G}{\partial y} = 0 \quad (12)$$

که در آن

$$C = \begin{pmatrix} p \\ q \end{pmatrix}, E = \begin{pmatrix} up \\ uq \end{pmatrix}, G = \begin{pmatrix} vp \\ vq \end{pmatrix} \quad (13)$$

حجم کنترل مورد استفاده در این تحقیق مطابق شکل (۳) می باشد که از برخورد عمود منصف های مثلث ها در اطراف گره ها ایجاد شده است.



شکل (۳): حجم کنترل مربوط به گره j و سلول های اطراف آن

انتگرال سطحی روی یک حجم کنترل با m یال را می توان به صورت زیر نوشت:

$$\iint_s (\vec{F} \cdot \vec{n}) ds = \sum_{k=1}^m (\vec{F}_r \cdot \vec{n}_r)_k \Delta s_k \quad (17)$$

که در آن Δs_k طول ضلع k ام، \vec{n}_r بردار یکه عمود بر ضلع است. با جایگزین کردن رابطه (۱۷) در رابطه (۱۵) و انتگرال گیری نسبت به زمان خواهیم داشت:

$$C_i^* = C_i^n + \frac{\Delta t \sum_{k=1}^m (\vec{F}_r \cdot \vec{n}_r)_k \Delta s_k}{A_i} \quad (18)$$

روش حل عددی برای معادله جابجایی

معادله جابجایی دو بعدی را می توان به صورت معادله (۱۱) نوشت.

$$\frac{\partial C}{\partial t} + \nabla \cdot \vec{F} = 0 \quad (11)$$

که در آن، $F=(E,G)$ و بنابراین معادله (۱۱) به صورت معادله (۱۲) تبدیل می شود:

با انتگرال گیری معادله (۱۱) روی یک حجم کنترل داریم:

$$\int_A \frac{\partial C}{\partial t} dA + \int_A (\nabla \cdot \vec{F}) dA = 0 \quad (14)$$

بر اساس قضیه دیورژانس، جمله دوم را می توان به یک انتگرال سطحی تبدیل کرد:

$$\int_A \frac{\partial C}{\partial t} dA + \iint_s (\vec{F} \cdot \vec{n}) ds = 0 \quad (15)$$

که در آن

$$\vec{F} \cdot \vec{n} = E \vec{n}_x + G \vec{n}_y \quad (16)$$

که در آن $\vec{n}_y = \frac{\Delta x}{\sqrt{\Delta x^2 + \Delta y^2}}$ و $\vec{n}_x = \frac{-\Delta y}{\sqrt{\Delta x^2 + \Delta y^2}}$

مولفه بردار یکه عمود بر سطح در راستای x و y است.

که در آن U_r سرعت عمود بر ضلع و \bar{C} متوسط شار سرعت خروجی از ضلع حجم کنترل است. مطابق شکل (۴) خط ij دو گره i و j را به هم وصل می‌کند و عمود بر ضلع AB حجم کنترل است. مقدار سرعت U_r از رابطه زیر محاسبه می‌شود

شکل (۴): نحوه تعریف سرعت عمود بر اضلاع حجم کنترل در شبکه مثلثی

$$U_r = v \cos \theta + u \sin \theta \quad (20)$$

$$\left(\frac{\partial C}{\partial x}\right)_i = \frac{\sum_{k=1}^{nd} \bar{c}_k^n \Delta y_k}{\text{area}_i} \quad (24)$$

$$\left(\frac{\partial C}{\partial y}\right)_i = \frac{\sum_{k=1}^{nd} \bar{c}_k^n \Delta x_k}{\text{area}_i} \quad (25)$$

که در آن، Δx_k و Δy_k به ترتیب تفاوت مختصات x ، y برای نقاط انتهایی یال k ام هستند.

روش حل عددی برای معادله پخشیدگی

معادله پخشیدگی دو بعدی را می‌توان به صورت معادله (۲۶) نوشت:

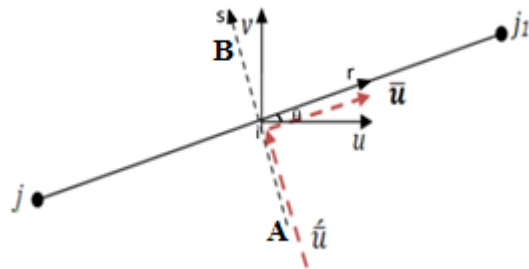
$$\frac{\partial C}{\partial t} = \frac{\partial}{\partial x} \left(v_t \frac{\partial C}{\partial x} \right) + \frac{\partial}{\partial y} \left(v_t \frac{\partial C}{\partial y} \right) \quad (26)$$

که در آن C می‌تواند شار سرعت در جهت x یا y یعنی p یا q باشد. با انتگرال گیری از رابطه (۲۶) و استفاده از قضیه دیورژانس، خواهیم داشت:

$$C_i^{**} = C_i^* + \frac{\Delta t \sum_{k=1}^m (\bar{F}_{Dr} \cdot \bar{n}_r)_k \Delta s_k}{A_i} \quad (27)$$

مقدار $(\bar{F}_{Dr} \cdot \bar{n}_r) \Delta s$ شار پخشیدگی عبوری از ضلع حجم کنترل است که با استفاده از رابطه زیر می‌توان آن را محاسبه کرد:

که در آن، A_i مساحت حجم کنترل و Δt اندازه گام زمانی است. مقدار $(\bar{F}_r \cdot \bar{n}_r) \Delta s_k$ شار جابجایی عبوری از ضلع k است که با استفاده از رابطه زیر می‌توان آن را محاسبه کرد:

$$(\bar{F}_r \cdot \bar{n}_r) \Delta s = U_r \cdot \bar{C} \cdot \Delta s \quad (19)$$


برای محاسبه متوسط شار سرعت خروجی، \bar{C} ، می‌توان از روش‌های لکس و ندروف، فروم و کیوکست استفاده کرد. در این تحقیق از روش فروم که روشی صریح و با درجه دقت مرتبه دوم است، مطابق رابطه زیر استفاده می‌شود.

$$\bar{C} = C_i^n + 0.5 \text{grad}(1 - C_r) \quad (21)$$

Δr فاصله بین گره‌های محاسباتی، C_r عدد کورانت و grad تابع گرادیان شار سرعت روی ضلع AB است و به صورت زیر محاسبه می‌شوند:

$$\text{grad} = \Delta r \frac{\partial C}{\partial r} \quad (22)$$

$\partial C / \partial r$ تغییرات شار سرعت در جهت محور r است که می‌توان آن را با استفاده از رابطه زیر محاسبه کرد:

$$\frac{\partial C}{\partial r} = \frac{\partial C}{\partial x} \cos \theta + \frac{\partial C}{\partial y} \sin \theta \quad (23)$$

مشتقات موجود در معادلات (۲۴) و (۲۵) با درون یابی مشتقات مشابه در گره‌های دو طرف دیواره حجم کنترل به دست می‌آیند. مشتقات روی گره‌ها یک مرتبه کمتر از مشتقات روی گره‌های دیواره هر حجم کنترل محاسبه می‌شوند. بنابراین برای مشتقات k^{th} در گره i^{th} "nd" دیواره در حجم کنترل داریم. همچنین می‌توان با استفاده از قضیه واگرایی گاوسی نوشت:

$$\frac{\partial \eta}{\partial t} + \left(\frac{\partial p}{\partial x} + \frac{\partial q}{\partial y} \right) = 0 \quad (36)$$

چنانچه معادلات فوق در امتداد محور r تصویر شود، دو معادله در راستای x و y تبدیل به یک معادله در راستای محور r می‌گردد. با توجه به شکل (۴) روابط ذیل حاصل می‌گردد.

$$(37)$$

$$\frac{\partial R}{\partial t} + gh \frac{\partial \eta}{\partial r} = - \frac{gR |R|}{C^2 h^2} \therefore R = \bar{p} \cos \theta + \bar{q} \sin \theta$$

معادله فوق را برای حجم کنترل i ، و شکل (۴) می‌توان به صورت زیر دیفرانس کرد:

$$(38)$$

$$R_i^{n+1} = R_i^{**} - \frac{g \Delta t h_i^n}{\Delta r} (\eta_{ji}^{n+1} - \eta_i^{n+1}) - \frac{g R_i^{**} |R_i^{**}|}{C^2 (h_i^n)^2}$$

با انتگرال گیری از معادله پیوستگی و استفاده از قضیه دیورژانس، خواهیم داشت:

$$\eta_i^{n+1} = \eta_i^{n+1} - \frac{\Delta t}{A_i} \sum_{m=1}^{m=i} R_{im}^{n+1} \Delta S_{im} \quad (39)$$

با قرار دادن رابطه (۳۹) در (۳۸) و ساده سازی خواهیم داشت:

$$(40)$$

$$\eta_i^{n+1} = \eta_i^n - \frac{\Delta t}{A_i} \sum_{m=1}^{m=i} \left(R_i^{**} - \frac{g \Delta t h_{im}^n}{\Delta r} (\eta_{ji}^{n+1} - \eta_i^{n+1}) - \frac{g R_{im}^{**} |R_{im}^{**}|}{C^2 h_{im}^n} \right) \Delta S_{im}$$

معادله فوق با استفاده از روش تکرار گوس سایدل قابل حل می‌باشد. ابتدا مقدار تراز سطح آب برای تمام گره‌های محاسباتی فرض می‌شود و سپس با استفاده از رابطه (۴۰) مقدار تراز سطح آب تصحیح می‌شود. این کار آنقدر ادامه می‌یابد تا حداکثر اختلاف تراز سطح آب در دو تکرار متوالی از خطای مجاز کمتر شود.

$$(\bar{F}_{Dr} \cdot \bar{n}_r) \Delta s = \left(v_t \frac{\partial C}{\partial r} \right) \Delta s \quad (28)$$

با توجه به شکل شماره (۴)، مقدار $\partial C / \partial r$ برای گره i را می‌توان از رابطه زیر محاسبه کرد:

$$\frac{\partial C}{\partial r} = \left[(1-\theta)(C_i^* - C_{ji}^*) + \theta(C_i^{**} - C_{ji}^{**}) \right] \quad (29)$$

در رابطه فوق، اگر $\theta=0$ روش حل معادله پخشیدگی صریح، اگر $\theta=1$ روش حل ضمنی و اگر $\theta=0.5$ روش حل معادله پخشیدگی با استفاده از روش کرانک نیکلسون است.

با قرار دادن رابطه (۲۸) و (۲۹) در رابطه (۲۷) و ساده سازی داریم:

$$a_0 C_i^{**} + \sum_{m=1}^{m=nd} a_m C_{im}^{**} = b_i \quad (30)$$

که در آن،

$$a_0 = A_i + \Delta t \theta \sum_{m=1}^{m=nd} \left(\frac{v_t \Delta s}{\Delta r} \right)_m \quad (31)$$

$$a_1 = -\Delta t \theta \left(\frac{v_t \Delta s}{\Delta r} \right)_1, a_2 = -\Delta t \theta \left(\frac{v_t \Delta s}{\Delta r} \right)_2 \quad (32)$$

$$, \dots, a_m = -\Delta t \theta \left(\frac{v_t \Delta s}{\Delta r} \right)_m$$

$$b_i = \left[a_0 - \Delta t \sum_{m=1}^{m=nd} \left(\frac{v_t \Delta s}{\Delta r} \right)_m \right] C_i^* + \quad (33)$$

$$(1-\theta) \Delta t \sum_{m=1}^{m=nd} \left[\left(\frac{v_t \Delta s}{\Delta r} \right)_m \right] C_i^*$$

با توجه به نامنظم بودن شبکه محاسباتی امکان استفاده از روش ADI وجود ندارد، بنابراین با استفاده از روش تکراری گوس سایدل مقادیر C_i^{**} محاسبه می‌شود.

حل معادله پیوستگی و ترم ثقلی در معادلات اندازه حرکت

پس از حل معادله انتقال و اثر ترم اصطکاک، معادلات زیر باقی می‌ماند.

$$\frac{\partial p}{\partial t} + gh \frac{\partial \eta}{\partial x} = - \frac{gp \sqrt{p^2 + q^2}}{C^2 h^2} \quad (34)$$

$$\frac{\partial q}{\partial t} + gh \frac{\partial \eta}{\partial x} = - \frac{gq \sqrt{p^2 + q^2}}{C^2 h^2} \quad (35)$$



شرط مرزی که شامل مرز بسته و مرز باز می‌باشد، در نظر گرفته می‌شود. مرز بسته مرزی است که از آن جریان عبور نمی‌کند (مانند دیوار)، در شرط مرزی بسته در محل دیواره‌ها با در نظر گرفتن شرط بدون لغزش، سرعت جریان در تمام راستاها در مرز برابر با صفر لحاظ می‌گردد. مرز باز مرزی است که در آن یک یا چند پارامتر مجهول مسئله مقادیر معلومی دارند در مرز باز تراز سطح آب بعنوان پارامتر معلوم و یا مقدار دبی بعنوان پارامتر معلوم در نظر گرفته می‌شود.

شرایط مرزی در اطراف سلول‌ها اعمال می‌گردد و مقادیر متغیرهای آن از مرکز سلول برون‌یابی می‌شوند. براساس تئوری خطوط کاراکترستیک، معادله‌ی منحنی مشخصه‌ی مثبت (C^+) به طور همزمان با شرایط مرزی پایین‌دست و معادله‌ی منحنی مشخصه‌ی منفی (C^-) نیز همزمان با شرایط مرزی بالادست حل می‌شود. بر این اساس برای متغیرهای معادله آب کم عمق داریم:

$$C^- = u - 2C \therefore C^+ = u + 2C \quad (45)$$

در معادله (۴۵)، به ترتیب در امتداد $dx/dt = u - c$ و $dx/dt = u + c$ زمانیکه سهم ترم منبع ناپده گرفته می‌شود، بر مرزها اعمال می‌گردد.

شرط مرزی پایین دست

در مرز پایین دست با حل همزمان معادلات حاکم بر مرز و خط کاراکترستیک C^+ ، داریم:

$$u_L + 2\sqrt{gh_L} = u_* + 2\sqrt{gh_*} \quad (46)$$

که در آن زیرنویس‌های * و L به ترتیب متغیرهای مرز و سمت چپ را نشان می‌دهند.

براین اساس مطابق شکل زیر، با توجه به اینکه سرعت u_L و h_L و h_* معلوم می‌باشد، u_* مستقیماً از معادله (۴۶) محاسبه می‌شود یعنی داریم:

بعد از محاسبه تراز سطح آب در زمان $n+1$ ، مقدار شار سرعت در راستای x و y با استفاده از روابط زیر محاسبه می‌گردد.

$$(41)$$

$$p_i^{n+1} = p_i^{**} - g\Delta t \left[h_i^n \left(\frac{\partial \eta}{\partial x} \right)_i^{n+1} + \frac{p_i^{**} \sqrt{p_i^{**2} + q_i^{**2}}}{C_1^2 h_i^2} \right] \quad (42)$$

$$q_i^{n+1} = q_i^{**} - g\Delta t \left[h_i^n \left(\frac{\partial \eta}{\partial x} \right)_i^{n+1} + \frac{q_i^{**} \sqrt{p_i^{**2} + q_i^{**2}}}{C_1^2 h_i^2} \right]$$

مقادیر مشتق تراز سطح آب نسبت به x و y را می‌توان با استفاده از قضیه گوس مطابق روابط زیر محاسبه نمود:

$$\left(\frac{\partial \eta}{\partial x} \right)_i = \frac{\sum_{m=1}^{m=i} \bar{\eta}_{im} \Delta y_m}{A_i}; \left(\frac{\partial \eta}{\partial y} \right)_i = - \frac{\sum_{m=1}^{m=i} \bar{\eta}_{im} \Delta x_m}{A_i} \quad (43)$$

$\bar{\eta}_{im}$ متوسط تراز سطح آب روی اضلاع حجم کنترل i می‌باشد.

شرایط اولیه و شرایط مرزی جریان

در تمام روش‌های عددی، لازم است برای همه‌ی مقادیر پارامترها در تمام نقاط شبکه، مقادیری را بعنوان شرایط اولیه در نظر گرفت تا بوسیله مدل توسعه یافته بتواند در روند انجام محاسبات با تصحیح آن‌ها به جواب مورد نظر با دقت مناسب دست یافت. لازم بذکر است که با توجه به شرایط مرزی و توسعه‌ی زمانی حل معادلات، اثر شرایط اولیه به تدریج از بین رفته و دقت بالا در شرایط اولیه تأثیری در جواب نهایی ندارد اما شرایط اولیه مناسب، نقش بسزایی در سرعت همگرایی مدل داشته و باعث کاهش زمان انجام محاسبات می‌شود. به همین منظور انتخاب شرایط اولیه نزدیک به مقادیر واقعی، بهترین انتخاب خواهد بود. شرایط اولیه در تحقیق حاضر شامل تراز سطح آب و سرعت‌های اولیه می‌باشد. همچنین در این تحقیق دو نوع

معادله فوق یک معادله غیر خطی می باشد که با انجام آزمون و خطا، می توان مقدار u^* را محاسبه نمود. سپس با داشتن p^* می توان h^* را بدست آورد. در مرز جامد با در نظر گرفتن شرط بدون لغزش، سرعت جریان در تمام راستاها در مرز برابر با صفر لحاظ می گردد و مقدار h^* را می توان از معادله (۵۱) محاسبه نمود:

$$h_* = \frac{[u_L + 2\sqrt{gh_L}]^2}{4g} \quad (51)$$

صحت سنجی مدل عددی

برای تایید صحت مدل عددی و کاربرد آن، این مدل برای مجموعه ای از مسائل هیدرولیکی همانطور که در زیر مورد بحث قرار گرفته است، و همچنین از جذر میانگین مربعات خطا، میانگین مربعات خطا و ضریب همبستگی به ترتیب بصورت روابط (۵۲-۵۴) به منظور بررسی خطای مدل استفاده گردید.

$$RMSE = 100 \sqrt{\frac{\sum_i (c_i^n - c_i^{ex})^2}{\sum_i c_i^{ex}}} \quad (52)$$

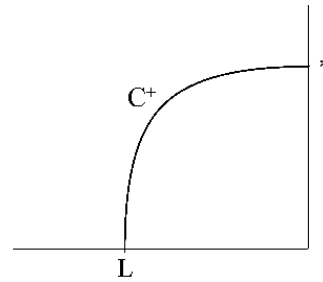
$$MAE = \frac{\left| \sum_{i=1}^n (c_i^{ex} - c_j^n) \right|}{n_i} \quad (53)$$

$$R^2 = \frac{\left[\sum_{i=1}^n (c_i^{ex} - \bar{c}^{ex})(c_j^n - \bar{c}_j) \right]}{\sum_{i=1}^n (c_i^{ex} - \bar{c}^{ex})^2 (c_j^n - \bar{c}_j)^2} \quad (54)$$

در این رابطه پانویس های ex و n به ترتیب نمایانگر حل تحلیلی و عددی می باشد.

شبیه سازی دو بعدی شکست سد

به منظور صحت سنجی معادله دو بعدی جریان، مخزنی به طول و عرض ۲۰۰ متر با کف افقی در نظر گرفته شد. در قسمتی از این مخزن دریچه ای با عرض ۷۵ متر و عمود بر جهت جریان و با ضخامت ۱۰ متر در جهت جریان قرار



شکل (۵): شرط مرزی برای خط کاراکترستیک C^+

$$u_* = u_L + 2(\sqrt{gh_L} - \sqrt{gh_*}) \quad (47)$$

همچنین با داشتن u^* و h^* می توان مقدار دبی در واحد عرض را محاسبه نمود:

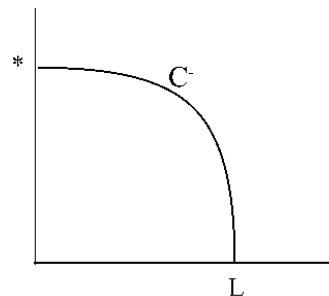
$$p_* = u_* \times h_* \quad (48)$$

شرط مرزی بالادست

در مرز بالادست با حل همزمان معادلات حاکم بر مرز و خط کاراکترستیک C^- ، داریم:

$$u_L - 2\sqrt{gh_L} = u_* - 2\sqrt{gh_*} \quad (48)$$

براین اساس مطابق شکل زیر، با اعمال ساده سازی معادله (۴۸) به صورت معادله (۴۹) تبدیل می گردد.



شکل (۶): شرط مرزی برای خط کاراکترستیک C^-

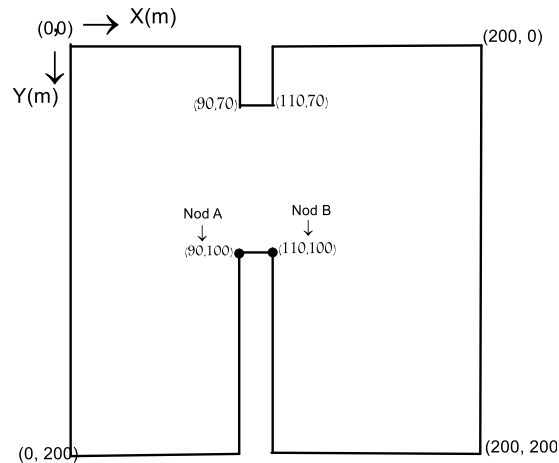
$$h_* = \frac{1}{4g} (u_* - u_L + 2\sqrt{gh_L})^2 \quad (49)$$

با ضرب طرفین در u^* ، مقدار دبی در واحد عرض را می توان محاسبه نمود:

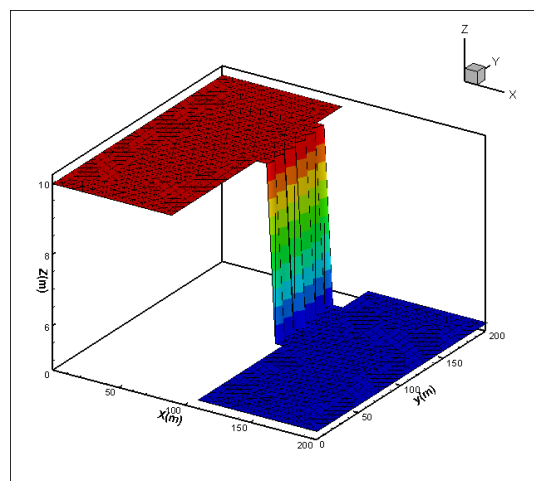
$$P_* = \frac{u_*}{4g} (u_* - u_L + 2\sqrt{gh_L})^2 \quad (50)$$

اولیه برای مسئله شکست سد دو بعدی را نشان می‌دهد. لازم به ذکر است که این شبیه سازی برای صحت سنجی با مدل‌های عددی مختلف توسط محققان انجام گرفته است.

دارد. شرایط اولیه در نظر گرفته شده برای مدل به صورت نسبت عمق آب پایین دست به عمق آب در مخزن (h_t/h_r) برابر $0/5$ انتخاب گردید. زمان شبیه سازی تا $7/5$ ثانیه پس از شکست سد ادامه پیدا کرد. شکل ۷ پلان دوبعدی مخزن و شکل ۸ پروفیل سطح آب مربوط به شرایط



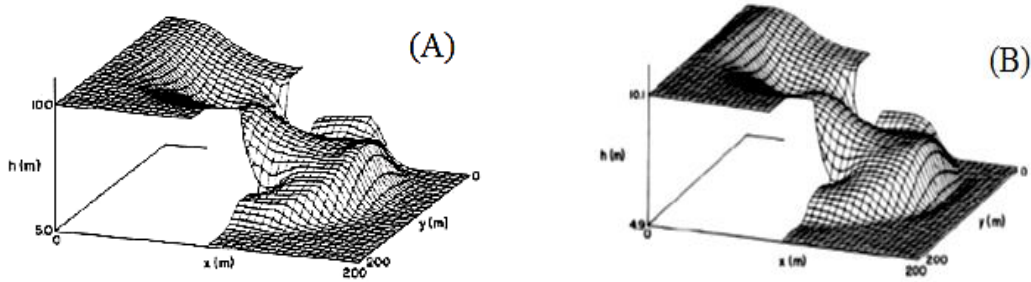
شکل (۷): پلان دو بعدی مخزن برای مسئله شکست سد دو بعدی



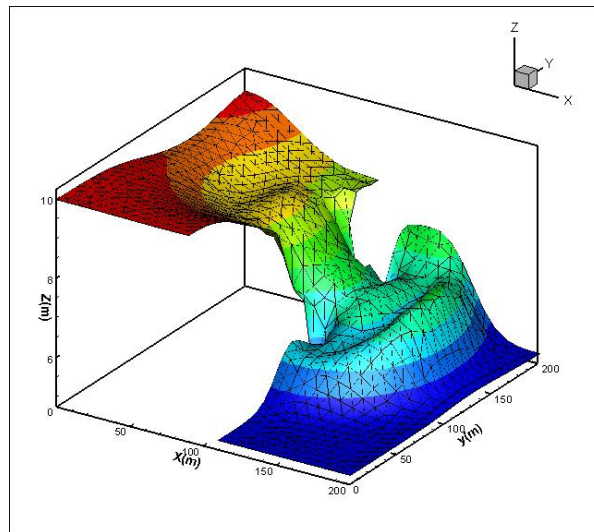
شکل (۸): پروفیل سطح آب مربوط به شرایط اولیه برای مسئله شکست سد دو بعدی

گابوتی و همچنین مدل حاضر برای شبیه سازی پروفیل سطح آب، $7/5$ ثانیه پس از شکست سد در شکل‌های زیر آورده شده است

به منظور صحت سنجی مدل از نتایج دو روش مک کورمک و گابوتی که توسط چدري (۲۰۰۸) ارائه شده است، استفاده گردید. نتایج حاصل از روش‌های مک کورمک و



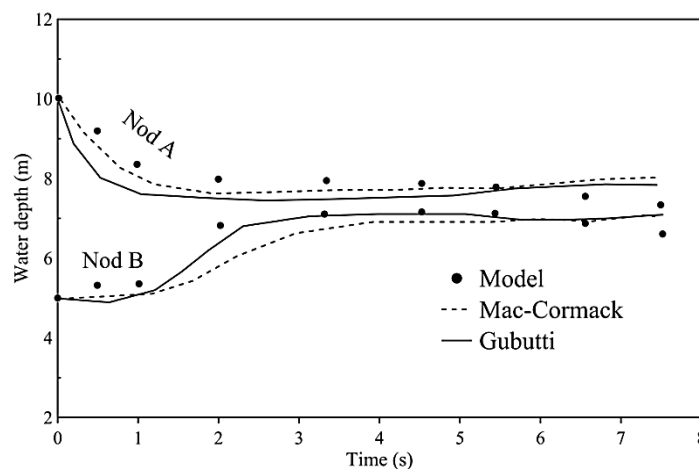
شکل (۹): پروفیل شبیه سازی سطح آب به روش (A) مک کورمک، (B) گابوتی ۷/۵ ثانیه پس از شکست سد



شکل (۱۰): پروفیل شبیه سازی سطح آب به استفاده از مدل حاضر ۷/۵ ثانیه پس از شکست سد

(۱۰۰ و ۱۱۰) واقع در پایین دست سد به دست آورده شد و در شکل زیر آورده شده است.

به منظور صحت سنجی و مقایسه سه روش عددی، هیدروگراف عمق ناشی از شکست سد در دو نقطه A با مختصات (۹۰ و ۱۰۰) در بالادست سد و نقطه B با مختصات



شکل (۱۱): هیدروگراف عمق در گره‌های A و B برای شمای مک کورمک، گابوتی و تصنیف زمان (مدل عددی)

مطابق معادلات (۵۴-۵۲) محاسبه و در جدول زیر آورده شده است.

برای ارزیابی مدل عددی تحقیق حاضر با شماهای مک کورمک و گابوتی، پارامترهای آماری برای گره‌های A و B

جدول (۱): پارامترهای آماری برای ارزیابی مدل عددی حاضر با شماهای عددی مک کورمک و گابوتی در مسئله شکست سد دو بعدی

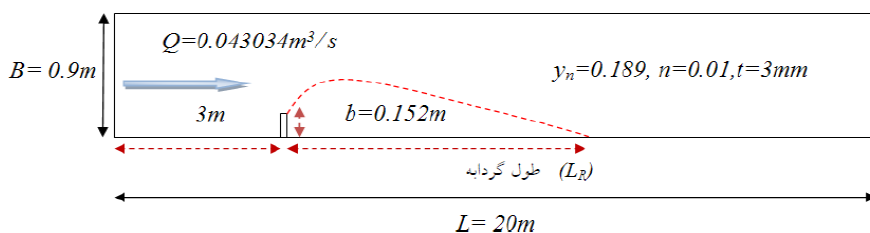
نقطه	مقایسه با روش	R^2	RMSE	MAE
A	Mac-Cormack	۰/۸۱۶	۰/۳۶۹	۰/۳۱۳
A	Gabutti	۰/۶۲۴	۰/۵۳۱	۰/۴۲۶
B	Mac-Cormack	۰/۷۸۲	۰/۳۰۷	۰/۲۵۸
B	Gabutti	۰/۹۴۵	۰/۲۱۴	۰/۱۶۰

۰/۰۴۳۰۳ متر مکعب بر ثانیه است. در شکل (۱۲) مشخصات هندسی و هیدرولیکی مدل آزمایشگاهی راجاراتنام و نواچکو نشان داده شده است. به منظور شبیه سازی شار سرعت در مرز بالادست از مقدار صفر تا ۰/۰۴۳۰۳ متر مربع بر ثانیه در گام زمانی مختلف افزایش داده می‌شود و در مرز پایین دست تراز سطح آب ثابت و برابر ۰/۱۸۹ لحاظ می‌گردد. شکل (۱۳) و (۱۴) به ترتیب توزیع سرعت و میدان جریان شبیه‌سازی شده توسط مدل عددی در اطراف آبشکن را نیز نشان می‌دهد.

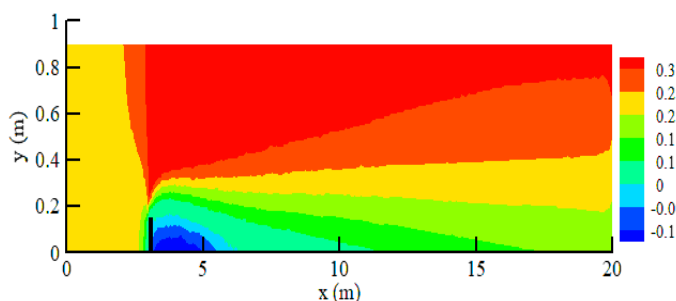
مطابق نتایج بدست آمده از پارامترهای آماری به منظور صحت سنجی مدل عددی تحقیق حاضر می‌توان نتیجه گرفت که مدل عددی از دقت بالایی برخوردار می‌باشد.

جریان اطراف آبشکن

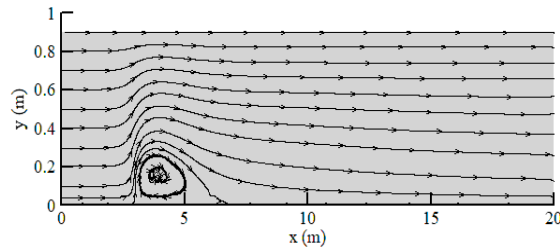
مدل آزمایشگاهی راجاراتنام و نواچکو (۱۹۸۳) شامل یک کانال مستقیم به طول ۲۰ متر و عرض ۰/۹ متر می‌باشد. یک آبشکن به طول ۰/۱۵۲ متر و ضخامت ۳ میلی‌متر در موقعیت ۳ متری از ورودی کانال تعبیه گردیده است. ضریب زبری مانینگ در این کانال ۰/۰۱ می‌باشد. عمق جریان و دبی عبوری از کانال به ترتیب برابر با ۰/۱۸۹ متر و



شکل (۱۲): مشخصات هندسی و هیدرولیکی مدل آزمایشگاهی راجاراتنام و نواچکو



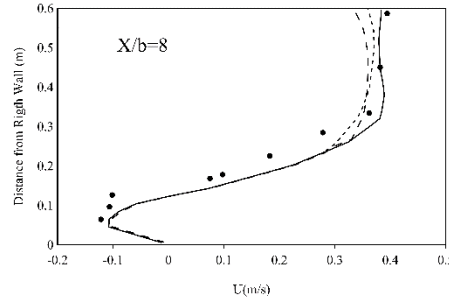
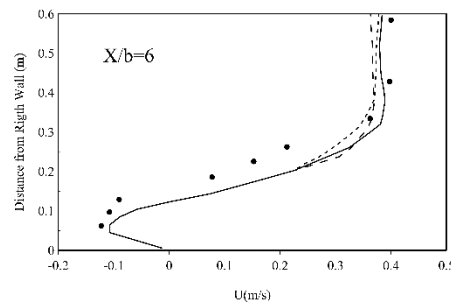
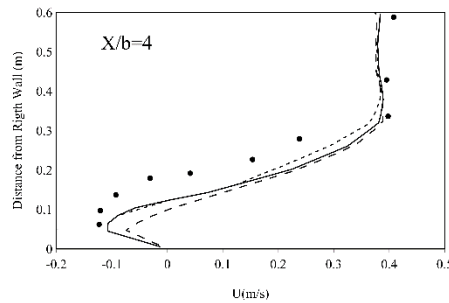
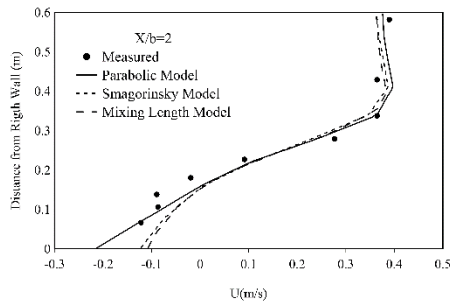
شکل (۱۳): توزیع سرعت در اطراف آبشکن در مدل عددی



شکل (۱۴): میدان جریان اطراف آبشکن در مدل عددی

پارامترهای آماری مربوط به دقت مدل عددی را نشان می‌دهد. همچنین جدول (۲) آورده شده است، $X/b=8$ و $X/b=6$

به منظور بررسی دقیق‌تر مدل عددی، در شکل (۱۵) پروفیل سرعت در ۴ مقطع عرضی بعد از آبشکن برای مدل عددی و داده‌های آزمایشگاهی در مقاطع $X/b=4$ ، $X/b=2$



شکل (۱۵): مقایسه‌ی سرعت‌های اندازه‌گیری شده و محاسبه شده در اطراف دیواره آبشکن

جدول (۲): پارامترهای آماری در شبیه‌سازی مدل‌های آشفتگی

	مدل محاسباتی											
	مدل پارابولیک				مدل اسمانگورینسکی				مدل طول اختلاط پرانتل			
	$x/b=2$	$x/b=4$	$x/b=6$	$x/b=8$	$x/b=2$	$x/b=4$	$x/b=6$	$x/b=8$	$x/b=2$	$x/b=4$	$x/b=6$	$x/b=8$
RMSE	۸/۷۱	۱۱/۴۵	۱۰/۹۸	۹/۵۳	۸/۶۸	۱۱/۵۱	۱۱/۱۰	۹/۴۸	۸/۷۳	۱۱/۶۰	۱۱/۱۶	۹/۸۳
MAE	۸/۰۲	۱۲/۶۸	۱۰/۷۸	۹/۴۳	۸/۳۳	۱۲/۷۲	۱۰/۷۳	۹/۲۲	۸/۵۲	۱۲/۹۳	۱۱/۱۴	۱۰/۰۸
R ²	۰/۷۶۰	۰/۸۱۰	۰/۷۹۸	۰/۸۱۰	۰/۸۶۸	۰/۸۹۳	۰/۸۱۷	۰/۷۹۵	۰/۸۷۴	۰/۸۶۱	۰/۸۲۶	۰/۷۹۸

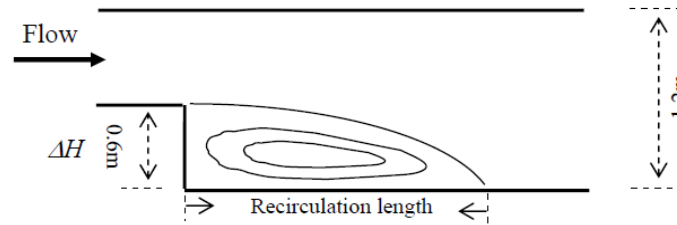
سرعت در این فلوام آزمایشگاهی در ۴ مقطع از کانال اندازه‌گیری شده است. بستر و دیواره‌های کانال از جنس بتن با ضریب زبری 0.13 می‌باشد. در شکل ۱۶ مشخصات هندسی و در جدول ۳ مشخصات هیدرولیکی مدل

جریان در باز شدگی ناگهانی کانال

مدل عددی با استفاده از کانال آزمایشگاهی اکسی (۱۹۹۴) با باز شدگی ناگهانی در عرض اعتبار سنجی گردید. داده‌های

سرعت عمقی مشاهداتی و محاسباتی نسبت به دیواره سمت راست را نشان می‌دهد.

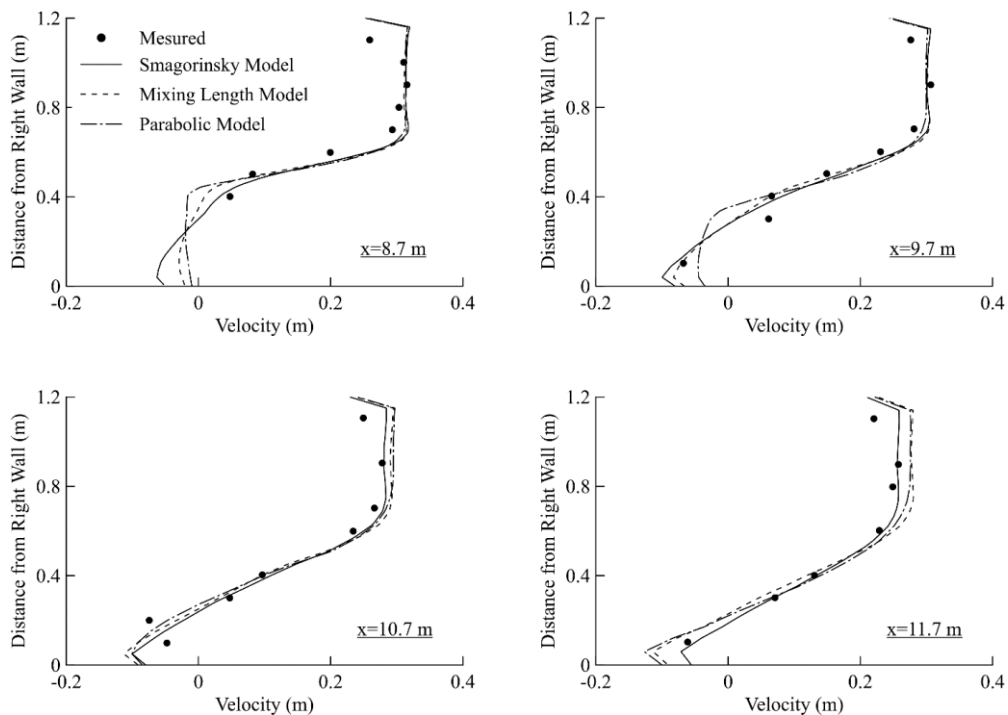
آزمایشگاهی اکسی نشان داده شده است. مدل آزمایشگاهی توسط مدل عددی شبیه سازی شد و شکل (۱۷) متوسط



شکل (۱۶): شماتیک الگوی جریان و بازشدگی ناگهانی کانال

جدول (۳): مشخصات هیدرولیکی مدل آزمایشگاهی اکسی (۱۹۹۴)

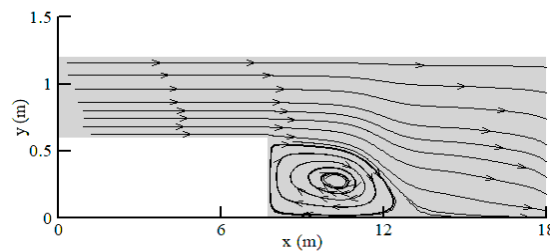
دبی جریان (m^3/s)	عرض کانال (m)	عمق جریان (m)	شیب کانال ($0/001$)	سرعت جریان (m/s)	طول ناحیه‌ی چرخشی (LR) ($4/6$)
$0/03854$	$1/2$	$0/105$	$0/001$	$0/6$	$4/6$



شکل (۱۷): تغییرات سرعت در مقابل عمق آب در نقاط مختلف

نتایج مدل عددی با داده‌های آزمایشگاهی تطابق خوبی پیدا می‌کند. شکل (۱۸) میدان جریان محاسبه شده توسط مدل عددی را نشان می‌دهد. همچنین در جدول (۴) پارامتر آماری مربوط به دقت مدل عددی برای شبیه‌سازی متوسط سرعت عمقی آورده شده است.

همانطور که از شکل (۱۷) مشهود است در ناحیه متلاطم نتایج به دست آمده از مدل عددی با داده‌های آزمایشگاهی اندکی اختلاف داشته که می‌توان علت این موضوع را استفاده از مدل‌های صفر معادله‌ای بکار رفته برای مدل آشفتگی جریان دانست. با دور شدن از این ناحیه مذکور،



شکل (۱۸): میدان جریان محاسبه شده توسط مدل عددی

جدول (۴): برآورد میزان خطای مدل در بازشدگی ناگهانی

MAE	RMSE	R ²	نقطه
۰/۱۰۶۲	۰/۱۵۶۳	۰/۷۸۲۴	x=7.7
۰/۰۴۷۷	۰/۰۲۱۴۵	۰/۹۳۶۲	X=8.7
۰/۰۴۴۵	۰/۰۲۴۸	۰/۹۲۱۶	X=9.7
۰/۰۲۲۳۲	۰/۰۱۸۴	۰/۹۸۴۱	X=10.7
۰/۰۲۴۰۵	۰/۰۱۹۷	۰/۹۷۳۲	X=11.7
۰/۰۱۰۹۴	۰/۰۲۱۱	۰/۹۸۰۹	X=12.7

و مورد بررسی و حل قرار داده شد. در واقع در این روش معادلات از حالت پیچیده خود به چند زیر معادله تبدیل شده که قابل حل باشند و خروجی هر بخش بعنوان ورودی برای بخش دیگر در نظر گرفته شد. بعد از جداسازی و حل معادلات حاکم بر جریان در محیط برنامه نویسی، آن را به صورت سابروتین درآورده و صحت سنجی‌های مربوط به آن در حالت دو بعدی با داده‌های مشاهداتی مربوط به شکست سد، کانال آزمایشگاهی دارای آبشکن راجاراتنام و نواچکو (۱۹۸۳) و کانال آزمایشگاهی اکسی (۱۹۹۴) با بازشدگی ناگهانی در عرض انجام گرفت و نتایج حاکی از دقت بالای مدل عددی در شبیه‌سازی‌های مربوطه بوده است.

همچنین با توجه به مقادیر گزارش داده شده براساس آزمایشات اکسی (۱۹۹۴) در جدول ۳، طول ناحیه‌ی چرخشی (L_R) بدست آمده برای دبی $0/03854$ متر مکعب بر ثانیه برابر است با ۶ که دارای دقت بالایی نسبت به مقادیر گزارش شده می‌باشد.

نتیجه گیری

در این پژوهش در ابتدا با استفاده از روش حجم محدود به تهیه مدل عددی دو بعدی جریان پرداخته شد. بدین منظور با استفاده از شمای تنصیف زمان در محیط برنامه نویسی فرترن، ترم‌های مختلف معادلات حاکم بر جریان جداسازی



منابع

- Abbott, Michael B., Basco. D. 1989. Computational Fluid Mechanics. An Introduction for Engineers, Longman. ISBN: 9780582013650. Publisger, Longman Scientific & Technical. <https://books.google.com/books?id=GqYeAQAAIAAJ>.
- Anastasiou, K., Chan, CT. 1997. Solution of the 2D shallow water equations using the finite volume method on unstructured triangular meshes. *Int J Numer Methods Fluids*; 24:1225–45.
- Baird, D., Abban, B., Michael Scurlock, S., Abt, B., Thornton, I. 2021. Two- Dimensional Numerical Modeling of Flow in Physical Models of Rock Vane and Bendway Weir Configurations. *Water*. 13(4), 458. <https://doi.org/10.3390/w13040458>.
- Chan, CT., Anastasiou, K. 1999. Solution of incompressible flows with or without a free surface using the finite volume method on unstructured triangular meshes. *Int J Numer Methods Fluids* 1999; 29:35–57.
- De Azevedo, L. G. T., Gates, T. K., Fontane, D. G., Labadie, J. W. and Porto, R. L. 2000. Integration of water quantity and quality in strategic river basin planning. *Journal of Water Resources Planning and Management*, 126(2), pp. 85–97. DOI:10.1061/(ASCE)0733-9496(2000)126:2(85).
- Fennema, RT. 1990. Chaudhry MH. Explicit methods for 2D transient free-surface flows. *J Hydraul Eng ASCE*. 116:1003–14. [https://doi.org/10.1061/\(ASCE\)0733-9429\(1990\)116:8\(1013\)](https://doi.org/10.1061/(ASCE)0733-9429(1990)116:8(1013)).
- Groosi, F., Cusicahua, A., Shademani, M., Shakibaenia, A. 2022. Experimental and numerical investigations of dam break flow over dry and wet beds. *International Journal of Mechanical Sciences*. Volume 215. 106946. <https://doi.org/10.1016/j.ijmecsci.2021.106946>.
- Hou, J., Liang, Q., Zhang, H., Hinkelmann, R. 2015. An efficient unstructured MUSCL scheme for solving the 2D shallow water equations. *Environmental Modeling & Software*. Volume 66, pp.131-152. DOI:10.1016/j.envsoft.2014.12.007.
- Jin, Y., Steffler, P. 1993. Depth-averaged and moment equations for moderately shallow free surface flow, *J. Hydraul. Res.* 31(1), pp. 5-17. <https://doi.org/10.1080/00221689309498856>.
- Kantoush, S., Bollaert, E., Schleiss, A. 2008. Experimental and numerical modelling of sedimentation in a rectangular shallow basin. *International Journal of Sediment Research* 23 (3) 212-232. [https://doi.org/10.1016/S1001-6279\(08\)60020-7](https://doi.org/10.1016/S1001-6279(08)60020-7).
- Namin, M., Lin, B, Falconer, R.A. 2004. Modelling estuarine and coastal flows using an unstructured triangular finite volume algorithm. *Advances in Water Resources*. 27 (12), PP. 1179–1197. <https://doi.org/10.1016/j.advwatres.2004.08.012>.
- Nujic, M. 1995. Efficient implementation of non-oscillatory scheme for the computation of free-surface flows. *J Hydraul Res.* 33: 101–11. <https://doi.org/10.1080/00221689509498687>.
- Papanicolaou, A.N., Elhakeem, M., Wardman, B. 2011. Calibration and verification of a 2D-hydrodynamic model for simulating flow around bendway weir structures. *J. Hydraul. Eng.* 137(1), pp.75–89. [https://doi.org/10.1061/\(ASCE\)HY.1943-7900.0000280](https://doi.org/10.1061/(ASCE)HY.1943-7900.0000280).
- prandtl, L. 1926. Uber die ausgebildete turbulenz. *Proceedings 2nd International Congress Applied Mechanics*, Zurich, 12-17 September 1926, page 62.
- Rajaratnam, N., Nwachukwu, B. A. 1983. Flow near groin-like structures. *Journal of Hydraulic Engineering*, 109(3), pp. 463–480. [https://doi.org/10.1061/\(ASCE\)0733-9429\(1983\)109:3\(463\)](https://doi.org/10.1061/(ASCE)0733-9429(1983)109:3(463)).
- Torabi, M., Hamedi, A., Alamatian, E., Zahabi, H. 2019. The Effect of Geometry Parameters and Flow Characteristics on Erosion and Sedimentation in Channel's Junction using Finite Volume Method. *International Journal of Engineering and Management Research*, Volume- 9, Issue- 2, April 2019, Available at SSRN: <https://ssrn.com/abstract=3540873>
- Uddin, M. J., Hossain, M. M., Ali M. S. 2011. Local scour around submerged bell mouth groin for different orientations. *Journal of Civil Engineering*, 39(1), pp. 1–18.
- Vaghefi, M., Ghodsian, M., Neyshabouri, S. A. S. 2012. Experimental study on scour around a T-shaped spur dike in a channel bend. *Journal of Hydraulic Engineering*, 138(5), pp. 471–474. [https://doi.org/10.1061/\(ASCE\)HY.1943-7900.0000536](https://doi.org/10.1061/(ASCE)HY.1943-7900.0000536).
- Xie, B.L. 1994. Flow data measured in a channel with sudden expansion. Wuhan University, China, Private communication.



Yeo, H. K., Kang, J. G., Kim, S. J. 2005. An experimental study on tip velocity and downstream recirculation zone of single groynes of permeability change. *KSCE Journal of Civil Engineering*, 9(1), pp. 29–38. <https://doi.org/10.1007/BF02829094>.

Zhang, SQ., Ghidaoui, MS., Gray, WG. 2003. A kinetic flux vector splitting scheme for shallow water flows. *Adv Water Resour.* 26(6), pp.635–47. [https://doi.org/10.1016/S0309-1708\(03\)00029-0](https://doi.org/10.1016/S0309-1708(03)00029-0).

Zhao, DH., Shen, HW., Lai, JS., Tabios, GQ. 1996. Approximate Riemann solvers in FVM for 2D hydraulic shock modelling. *J Hydraul Eng ASCE*.122:692–702. [https://doi.org/10.1061/\(ASCE\)0733-9429\(1996\)122:12\(692\)](https://doi.org/10.1061/(ASCE)0733-9429(1996)122:12(692)).